

# ПРОХОЖДЕНИЕ ОТРИЦАТЕЛЬНЫХ ЗАРЯДОВ ЧЕРЕЗ ГРАНИЦУ ЖИДКОСТЬ – ПАР В ВОДОРОДЕ

*А.А.Левченко, Л.П.Межов-Деглин*

*Институт физики твердого тела РАН*

*142432 Черноголовка Московской обл., Россия*

Поступила в редакцию 27 июля 1994 г.

После переработки 18 августа 1994 г.

Исследована зависимость тока, проходящего через поверхность жидкого водорода, от температуры, а также полярности и величины приложенного напряжения. Установлено, что положительные заряды практически не проникают из жидкости в пар. Температурная зависимость тока отрицательных зарядов ниже 17 К может быть описана экспонентой с энергией активации  $350 \pm 70$  К. Результаты экспериментов свидетельствуют о существовании в жидком водороде двух типов отрицательных зарядов различного строения – электронных пузырьков и кластеров, которые, как и положительно заряженные ионные кластеры, скапливаются под поверхностью жидкости.

Измерения подвижности заряженных частиц (зарядов), которые образуются в водороде под действием ионизирующего излучения, показали [1], что ниже 20 К в жидком водороде можно наблюдать два типа отрицательных зарядов с различной подвижностью. Ранее, при обсуждении свойств инжектированных зарядов в жидком водороде, полагали [2, 3], что отрицательный заряд – это электрон, локализованный в сферической полости радиусом около 10 Å, а положительный заряд – это кластер, состоящий из молекулярного иона  $H_2^+$ , который окружен слоем твердого водорода. Но в жидком водороде под облучением наряду с электронами и ионами  $H_2^+$  могут образовываться метастабильные атомарные ионы  $H^-$  [4], а также ионы примесей, растворенных в водороде. Какие из этих зарядов наблюдались в экспериментах [1, 3], заранее неизвестно.

Наглядным подтверждением существования электронных пузырьков в гелии были результаты экспериментов по изучению прохождения зарядов через поверхность жидкого гелия в пар. Оказалось [5], что ток отрицательных зарядов, обусловленный подбарьерным туннелированием связанных электронов из жидкости в пар, экспоненциально уменьшается с понижением температуры:  $J(T) \sim \exp(-G/T)$ . Характерная энергия активации в  ${}^4\text{He}$  по оценкам [6]  $G \approx 40$  К. Положительно заряженные кластеры практически не проходят через границу раздела фаз.

Можно было надеяться, что исследования прохождения зарядов через поверхность жидкого водорода также позволят судить о структуре движущихся в объеме зарядов

Идея экспериментов довольно проста. На заряженную частицу, расположенную под поверхностью жидкости, действует сила изображения, направленная в глубь жидкости;

$$F = (e/2z)^2 (\epsilon_l - \epsilon_g)/(\epsilon_l(\epsilon_l + \epsilon_g)),$$

где  $e$  – заряд частицы,  $z$  – расстояние от поверхности,  $\epsilon_{l,g}$  – диэлектрическая проницаемость жидкости и газа. Внешнее электрическое поле  $E$  компенсирует действие силы изображения и удерживает заряды под поверхностью

на некотором расстоянии  $z_0$ , определяемом равенством  $F(z_0) = eE$ . Если в жидкости находится источник зарядов, то под действием внешнего поля под поверхностью жидкости образуется заряженный слой. Знак зарядов в слое определяется полярностью приложенного напряжения. За счет термических флуктуаций заряд может сблизится с поверхностью. В модели [7, 8] предполагают, что при приближении электронного пузырька к поверхности связанный электрон может туннелировать через границу раздела в пар. Ток отрицательных зарядов через поверхность пропорционален концентрации электронных пузырьков и вероятности прохождения электроном границы раздела фаз. Вероятность туннелирования тяжелых положительных кластеров через границу экспоненциально мала по сравнению с электронами, поэтому положительные заряды скапливаются под поверхностью.

### Экспериментальная методика

В экспериментах изучались полевые и температурные зависимости токов, текущих через поверхность раздела из жидкости в пар. Измерения проводились в диоде, частично заполненном жидкостью. Источником зарядов служила погруженная в жидкость радиоактивная пластина, ионизирующая слой жидкости толщиной около 10 мкм вблизи поверхности источника. Расстояние источник - коллектор было 5 мм. Изолированное от источника металлическое охранное кольцо высотой 3 мм препятствовало уходу зарядов с поверхности жидкости на стенки герметичного контейнера, в котором был установлен диод. Радиоактивная пластина и охранное кольцо образовывали стакан внутренним диаметром 20 мм, в который конденсировался водород. Высота слоя жидкости над источником составляла 0,5 – 3 мм. Для контроля часть измерений была повторена в триоде, как и в работах [5, 6]. Результаты измерений в диоде и триоде согласуются между собой.

### Результаты

Как и в случае гелия, ток положительных зарядов через поверхность жидкого водорода в диоде при напряженностях тянувшего электрического поля до 1000 В/см пренебрежимо мал (менее  $1 \cdot 10^{-15}$  А). Сила тока отрицательных зарядов зависела от температуры и значений напряжений на источнике и на охранном кольце.

На рис.1 показана зависимость тока отрицательных зарядов от напряжения на охранном кольце  $V$  при постоянной разности потенциалов между источником и коллектором  $U$ . Кривые 1 и 2 получены при температуре 16 К и отличаются величинами тянувшего напряжения  $U$ . При приближении потенциала охранного кольца к потенциальному источнику (коллектор практически заземлен) наблюдается резкое падение тока до нуля. В диоде, полностью заполненным жидкостью (кривая 3 на рис.1, температура измерений 16,5 К) с увеличением напряжения на охранном кольце ток проходит через максимум, а затем медленно спадает при  $V > U$ . Это можно объяснить частичной компенсацией вертикальной составляющей приложенного электрического поля в жидкости.

Резкое падение тока через поверхность в случае частично заполненного диода (кривые 1, 2) связано, по-видимому, с компенсацией тянущего поля отрицательными зарядами иной структуры по сравнению с электронными пузырьками – кластерами, которые скапливаются под поверхностью и не могут перейти в газовую фазу. Об этом свидетельствует два факта. Первый – в отсутствие тока поверхность искривлена, а при подаче переменного на-

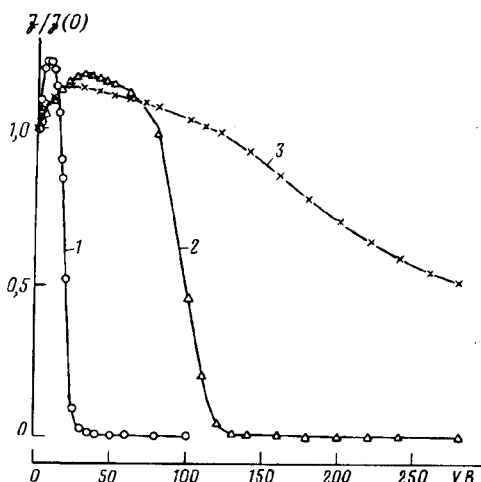


Рис.1

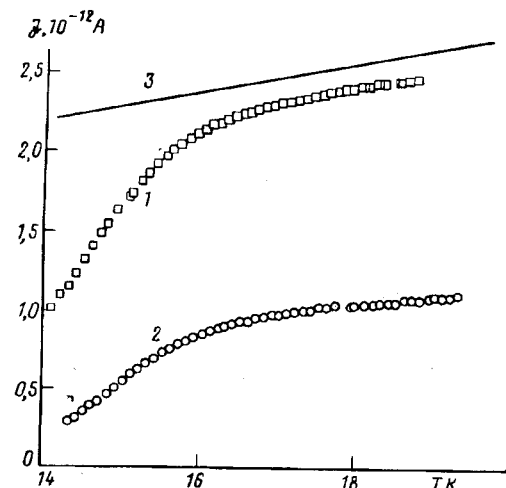


Рис.2

Рис.1. Зависимость тока отрицательных зарядов в диоде от напряжения на охранном кольце  $V$  (приведено отношение  $J(V)/J(0)$ ). Кривые 1 и 2 – ток через поверхность. Напряжение источника – коллектор  $U = 20$  В и  $100$  В, соответственно, температура  $T = 16$  К. Кривая 3 – диод полностью заполнен жидкостью, напряжение  $U = 100$  В, температура  $T = 16,5$  К

Рис.2. Температурная зависимость тока отрицательных зарядов в диоде. Кривые 1 и 2 – ток через поверхность, напряжение источника – коллектор  $U = 10$  В и  $3$  В, соответственно, напряжение на охранном кольце  $V = 5$  В. Кривая 3 – диод полностью заполнен жидкостью,  $U = 10$  В,  $V = 5$  В

напряжения на охранное кольцо можно наблюдать стоячие волны на поверхности жидкости (искривление формы поверхности и возникновение стоячих волн наблюдалось и при работе с положительными зарядами). Второй – при ступенчатом включении напряжения на охранном кольце при  $V < U$  время установления отрицательного тока было менее  $10$  с, а при  $V > U$  ток, текущий через поверхность на коллектор, приходил к новому стационарному значению за времена порядка  $10^3$  с, то есть за это время под поверхностью накапливался заряд, который компенсировал тянувшее электрическое поле.

На рис.2 кривая 1 описывает температурную зависимость тока отрицательных зарядов  $J(T)$  при разности потенциалов между источником и коллектором  $U = 10$  В и напряжении на охранном кольце  $V = 5$  В (стационарный ток). Аналогичные температурные зависимости наблюдались при  $U > V$  в диапазоне напряжений  $U = 1 - 30$  В. Кривая 2 была получена при быстром повышении температуры жидкости, в условиях когда запирающий поверхностный слой еще не успел сформироваться;  $U = 3$  В и  $V = 5$  В, время отогрева 6 мин, время релаксации тока – более 1 ч. Кривая 3 описывает температурную зависимость коллекторного тока в диоде, полностью заполненном жидкостью, при тех же напряжениях, что и кривая 1.

Как видно из рис.2, в диоде, полностью заполненном жидкостью, в температурном интервале  $14 - 20$  К ток в жидкости  $J_f$  слабо зависит от температуры. В диоде, частично заполненном жидкостью, при увеличении температуры от  $14$  до  $17$  К ток через поверхность  $J$  быстро возрастает, при этом выше  $17$  К температурная зависимость  $J(T)$  приближается к зависимости  $J_f(T)$ . Из срав-

нения кривых 1, 2 и 3 можно заключить, что при температурах ниже 17 К в частично заполненном диоде величина и температурная зависимость  $J(T)$  определяются условиями прохождения зарядов через поверхность. Выше 17 К влияние поверхности незначительно.

### Обсуждение

Итак, наблюдение прохождения отрицательных зарядов через поверхность раздела жидкость – пар подтверждает существование электронных пузырьков в жидком водороде. Естественно предположить, что так же, как и в гелии [7, 8], на расстояниях порядка радиуса пузырька от поверхности электрон может туннелировать через границу раздела фаз. Приближению пузырька к поверхности препятствуют силы электрического изображения. Чтобы по кривым  $J(T)$  определить эффективную высоту барьера, препятствующего прохождению отрицательных зарядов из жидкости в пар, экспериментальную зависимость  $J^{-1}(T)$  можно описать суммой  $J^{-1} = J_1^{-1}(T) + J_2^{-1}$ , где  $J_1(T)$  и  $J_2(T)$  соответствуют высокотемпературной и низкотемпературной асимптотикам тока на кривых 1 и 2 на рис.2. Предполагается, что температурная зависимость  $J_1(T)$  определяется объемной компонентой, то есть  $J_1 = aJ_f(T)$ , где  $a$  – численный параметр. Далее предполагается, что движению электронного пузырька к поверхности препятствует энергетический барьер, создаваемый силами электрического изображения, то есть  $J_2 = b \exp(-G/T)$ , где  $b$  – численный параметр, а  $G$  – высота барьера. Найденная подгонкой аналитических кривых к экспериментальным данным высота барьера  $G = 350 \pm 70$  К. Точность определения  $G$  ограничена узостью температурного интервала.

По величине  $G$  можно оценить эффективное расстояние от поверхности  $R^*$ , с которого происходит туннелирование электрона из жидкости в пар. В пренебрежении влиянием внешнего электрического поля

$$kG = [e^2(\epsilon_l - \epsilon_g)]/[4R^* \epsilon_l(\epsilon_l + \epsilon_g)],$$

где  $k$  – постоянная Больцмана. Подставляя  $G = 350 \pm 70$  К, получим  $R^* = 10,6 \pm 2$  Å. Из измерений подвижности [1] следует, что радиус пузырька составляет  $\sim 9$  Å (приведенные в статье значения  $r$  нужно умножить на коэффициент 1,25, учитывающий влияние объемного заряда на скорость движения фронта заряженных частиц в диоде). Теоретические расчеты [2] дают близкое значение  $r \approx 10$  Å, то есть связанные электроны туннелируют из жидкости в пар, когда эффективное расстояние до поверхности  $R^*$  оказывается сравнимым с радиусом пузырька, что представляется вполне разумным.

Таким образом, по результатам измерений прохождения тока через границу жидкость – пар можно заключить, что в жидком водороде под облучением образуются как электронные пузырьки, так и отрицательно и положительно заряженные ионные кластеры, вероятность прохождения которых через границу раздела фаз мала по сравнению с локализованными в жидкости электронами.

Авторы благодарны В.Н.Хлопинскому за помощь в подготовке и проведении экспериментов.

Работа была поддержана частично международным научным фондом Сороса.

- 
1. A.A.Levchenko and L.P.Mezhov-Deglin, J. Low Temp. Phys. **89**, N3/4, 457 (1992).
  2. T.Miyakawa and D.L.Dexter, Phys. Rev. **184**, 166 (1969).
  3. P.G.Le Comber, J.B.Wilson, and R.J.Loveland, Solid State Comm. **18**, 377 (1976).

2. T.Miyakawa and D.L.Dexter, Phys. Rev. **184**, 166 (1969).
3. P.G.Le Comber, J.B.Wilson, and R.J.Loveland, Solid State Comm. **18**, 377 (1976).
4. I.M.Sokolov and P.B.Lerner, In book of Abstracts of Symposium at the Internationales Wissenschaftsforum Heidelberg, Heidelberg, Germany, 1994, p.40.
5. L.Bruschi, B.Maraviglia, and F.E.Moss, Phys. Rev. Lett. **17**, 682 (1966).
6. W.Schoepe and C.Probst, Phys. Lett. **31A**, 490 (1970).
7. W.Schoepe and G.W.Rayfield, Phys. Rev. A. **7**, 2111 (1973).
8. В.Б.Шикин, Ю.П.Монарха, Двумерные заряженные системы в гелии. М.: Наука, 1989, с. 7 – 18, 66 – 69.